

## دراسة المقارنة بين تأثير إشارات الدخل المختلفة لمخمد الاهتزاز على استقرار أنظمة الطاقة الكهربائية

الدكتور محمد عبد الحميد\*  
الدكتور علاء الدين حسام الدين\*\*  
عماد قميرة\*\*\*

(تاريخ الإيداع 16 / 4 / 2007. قَبْلَ للنشر في 13/5/2007)

### □ الملخص □

يهدف هذا البحث إلى تحسين استقرار نظم الطاقة الكهربائية باستخدام مخمد اهتزاز تقليدي يقدم تخامد إضافي عن طريق تقديم إشارة جهد على دخل نظام التهييج من أجل توليد عزم تخامد متوافق بالطور مع السرعة. لقد تم في البحث تطبيق إشارات دخل مختلفة لمخمد الاهتزاز تمثل تغير التردد، تغير الاستطاعة المسرعة وتغير السرعة. رسمت الاستجابات الزمنية لتغير كل من السرعة  $\Delta\omega$  والجهد الطرفي  $\Delta V_r$  وزاوية القدرة  $\Delta\delta$  بدلالة الزمن عند حدوث اضطراب في تغير الاستطاعة الميكانيكية، كما تم مقارنة أداء النظام بوجود وجود مخمد الاهتزاز وبدونه.

أظهرت النتائج أن استخدام مخمد اهتزاز بتغذية عكسية من إشارة تغير السرعة يعطي أفضل تخامد للنظام وذلك لأن مخمد الاهتزاز يعطي تخامد متوافق بالطور مع السرعة

**الكلمات المفتاحية :** مخمد الاهتزاز، استقرار نظام القدرة، المتحكمات.

\*أستاذ مساعد في قسم هندسة الطاقة الكهربائية - كلية الهندسة الميكانيكية و الكهربائية - جامعة تشرين- اللاذقية سورية.  
\*\* أستاذ مساعد في قسم هندسة الطاقة الكهربائية - كلية الهندسة الميكانيكية و الكهربائية - جامعة تشرين- اللاذقية سورية.  
\*\*\*طالب دراسات عليا-قسم هندسة الطاقة الكهربائية-كلية الهندسة الميكانيكية و الكهربائية -جامعة تشرين-اللاذقية سورية.

## A Comparative Study of the Effect of Different Signals of the Power System Stabilizer on the Stability of Electric Power Systems

Dr. Mohammed Abd El-hamid\*  
Dr. Alla Eldeen hosam deen \*\*  
Emad komaira\*\*\*

(Received 16 / 4 / 2007. Accepted 13/5/2007)

### □ ABSTRACT □

The objective of this research is to improve the electrical power system stability using the conventional power system stabilizer that gives additional damping by providing voltage signal to the excitation system input to generate damping torque that is in phase with the speed. It has applied different signals to the power system stabilizer, speed change, accelerator power change, and frequency change. The time responses of rotor angle change  $\Delta\delta$ , speed change  $\Delta\omega$ , terminal voltage change  $\Delta V_t$  have been drawn when a disturbance in mechanical power happened. Moreover, the system performance of the system has been compared with and without power system stabilizer.

Results showed that using power system stabilizer with a feedback signal from speed change gives the best damping for the system. This is because the power system stabilizer gives damping torque in phase with the speed.

**Keyword:** Power system stability, Power system stabilizer, Controller.

---

\* Associate Professor, Department of Electrical Power, Faculty of Mechanical and Electrical Engineering, Tishreen University, Lattakia Syria.

\*\*Associate Professor, Department of Electrical Power, Faculty of Mechanical and Electrical Engineering, Tishreen University, Lattakia Syria.

\*\*\*Postgraduate Student, Department of Electrical Power, Faculty of Mechanical and Electrical Engineering, Tishreen University, Lattakia Syria.

## 1- المقدمة:

توسعت في السنوات الأخيرة أنظمة الطاقة الكهربائية وتعاطت بذلك أهمية التزويد المستمر للطاقة والتشغيل السلس للنظام مع المحافظة على موثوقية الخدمة الكهربائية، وهنا ظهرت أهمية دراسة استقرار نظم الطاقة الكهربائية والممثلة من مجموعة من الآلات المتواكفة التي تعمل مع بعضها بعضاً على التوازي وتدور بسرعة متواكفة. عند حدوث أي خلل في النظام سيتولد اضطراب يسري عبر خطوط النقل إلى الآلات المتواكفة، إذ إن كل آلة تتحسس أو تتأثر بالعطل حسب حجمه وحسب موقعه، أي حسب بعده وقربه عن كل آلة. حسب الحالة الأساسية للنظام قبل الاضطراب يمكن هنا أن نعرف نوعين من الاستقرار تبعاً لحجم الاضطراب أو لمطال الاضطراب [1,2] هما:

- ❖ **الاستقرار الديناميكي *dynamics stability***: وهو قدرة النظام للعودة إلى حالة الاستقرار بعد حدوث اضطراب صغير، ويهتم بدراسة أثر التغيرات الطفيفة التدريجية في الطاقة .
- ❖ **الاستقرار العابر *transient stability***: وهو قدرة النظام للعودة إلى حالة الاستقرار بعد حدوث اضطراب كبير، ويرتبط الاستقرار العابر بتغييرات مفاجئة في توصيل أو فصل الأحمال أو عمليات وصل أو فصل الخطوط أو نقصان تهيج المولد وجميع حالات القصر في النظام.

## 2- أهمية البحث والهدف منه:

\* أهمية البحث:

بما أن الطلب على الطاقة يعتبر حالة عشوائية فإن ذلك يعني أن هناك جملة من التغيرات التي تحدث في نظام الطاقة أثناء التشغيل الطبيعي تؤثر على سريان الطاقة في خطوط النقل بين المولدات، وبالتالي فإن الآلات المتواكفة لا تكون في حالة استقرار حقيقي أبداً، إذ إن كل آلة تكون في حالة تذبذب مستمر بالنسبة للآلات الأخرى في الشبكة. الاهتزازات ذات التردد المنخفض التي تؤثر على الاستقرار الديناميكي للآلة يمكن أن تصنف كما يلي [2,3,4]:

***Inter – tie mode***: هذا النوع من الاهتزازات يرافق مجموعة من الآلات في جزء من النظام يتأرجح مقابل مجموعة من الآلات في الجزء الآخر من النظام، يتراوح التردد الطبيعي لهذا النوع من الاهتزازات في المجال  $(0.2-0.5) Hz$ .

***Local mode***: هذا النوع يرافق مجموعة من وحدات التوليد في محطة التوليد الموصولة إلى نظام الطاقة الكهربائية عبر خطوط نقل ضعيفة، التردد الطبيعي لهذا النوع من الاهتزازات يتراوح في المجال بين  $(1.8-0.8) Hz$ .

***Intra – System mode***: وهذا النوع ينشأ بين الوحدات المنفردة ضمن النظام وتميل لأن تكون مشابهة بالسلوك للنوع الثاني .

\* الهدف من البحث:

يهدف البحث إلى تحسين أداء نظام الطاقة الكهربائي من خلال تقليل مطال الاهتزازات الناشئة عن الأعطال وتقليل زمن التخادم من خلال التحكم الإضافي بالتهيج عن طريق مخدم اهتزاز نظام الطاقة الكهربائي

*PSS* (power system stabilizer). وذلك لأن الإخماد الذي يقدمه نظام التهييج لا يكفي لإخماد تلك الاهتزازات.

### 3- طريقة البحث والتجهيزات المستخدمة:

تم في البداية عرض الأبحاث المهمة بهذا المجال، ومن ثم تم استخراج معادلات النظام الكهربائي المؤلف من آلة متواقتة موصولة إلى قضيب تجميع لانهائي، حيث تم بناء النموذج الرياضي للآلة وللمحمد ومحاكاته بواسطة برنامج *Matlab* مع الاختيار الدقيق لبارمترات نظام التهييج ومع عملية الضبط الدقيقة للمحمد والتي تعتمد على طريقة (*trial and error*). بعد ذلك تم استخدام كل من إشارة التردد والسرعة والاستطاعة المسرعة كل على حده كإشارة دخل للمحمد مع دراسة المقارنة بين الحالات الثلاثة.

### الدراسات المرجعية المتعلقة بالبحث:

في [5] تم عرض نتائج دراسة مقارنة لتطبيق ثلاثة أنواع مختلفة من المتحكمات، محمد اهتزاز نظام الطاقة (*PSS*)، معوض الطاقة الساكن (*SVC*) ومنظم التيار المقوم (*RCR*) لتحسين تخامد اهتزازات المولد في نظام الطاقة، وتخامد كل من النمط الميكانيكي (*Mechanical mode*) ونمط المهيج (*exciter mode*) في نظام الطاقة. تم اقتراح طريقة تعتمد على نظرية التحكم النمطية (*modal*) في تصميم *PSS*, *SVC*, *RCR* حيث تم استخدام متحكم من نوع *PID* وهو متحكم تناسبي - تكاملي - تفاضلي واستخدامه كمولد لإشارة الإخماد المطلوبة، ولتوضيح فعالية *PID* المقترح تم استخدام طريقة المجال الترددي بالاعتماد على تحليل الجذور عند حالات التشغيل المختلفة إضافة إلى طريقة المجال الزمني اعتماداً على محاكاة النظام اللاخطي عند حالات الاضطراب.

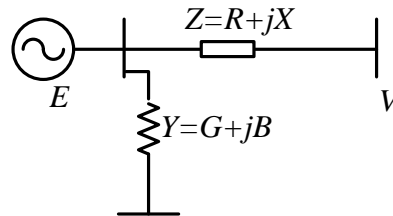
أما في [6] فإنها تظهر نتائج استخدام المتحكمات في الآلات المتواقتة اعتماداً على الموديلات الخطية واللاخطية، حيث تم تطوير طريقة تصميم النموذج غير الخطي للمتحكم وتنفيذها على آلة صغيرة موصولة مع خط قصير ومقاده بمحرك *DC*، تمت مقارنة نتائج الاختبار مع النتائج الرقمية، بينت النتائج الفائدة العملية للمتحكم في تحسين الاستقرار، كما بينت أن المتحكمات المثلى التي تعتمد النموذج الخطي يكون أداؤها فعال في حالة الاضطرابات الصغيرة وأن النموذج اللاخطي يكون أكثر فعالية وذو استجابة أفضل في حالة الاضطرابات الكبيرة.

وفي [7] تم تطوير محمد الاهتزاز اعتماداً على السرعة والاستطاعة الكهربائية وتم بحث تقنية تنفيذ نموذج المخدم بإزالة بعض الحدود التي تعيق عمل المخدم. وتم تجريبه في أرض الواقع على المحطات الكبيرة والوحدات النووية وبينت التجربة أنه تم إخماد جيد لأنماط الاهتزازات وبالتالي يمكن الاستغناء عن الفلتر في المخدمات وهذا يعني أنه يمكن زيادة ربح المخدم وبالتالي زيادة الإخماد.

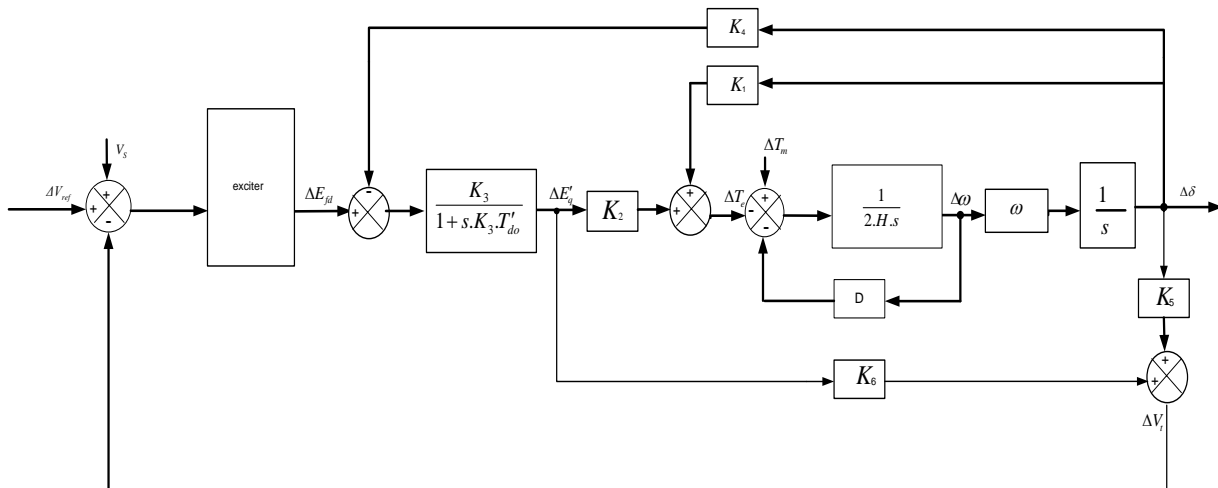
وفي [8] تم اختبار تخامد الاهتزازات من نوع *Local mode* باستخدام ثلاثة أنواع من مخدمات نظام الطاقة *PSS* وهي التردد الداخلي، الاستطاعة الكهربائية، وتسارع الاستطاعة ولقد تمت دراسة المقارنة لمميزات التشغيل لهذا المخدم *PSS* كضجيج الخرج، والحساسية لتغيرات الحمولة. ثم تقديم النتائج بالاعتماد على تحليل نتائج المحاكاة بالحاسب لمجموعة معطيات الحالة.

## النموذج الرياضي:

لدراسة الاستقرار الديناميكي لنظم الطاقة الكهربائية لا بد أن نحول النظام الى نظام خطي حول نقطة التشغيل [2,13] حيث يظهر الشكل (1) والشكل (2) مخطط النظام والمخطط الصندوقي لآلة متوافقة موصولة الى قضيب تجميع لانهاى ومزودة بنظام تهيج من النموذج [IEEE TYPE-1].

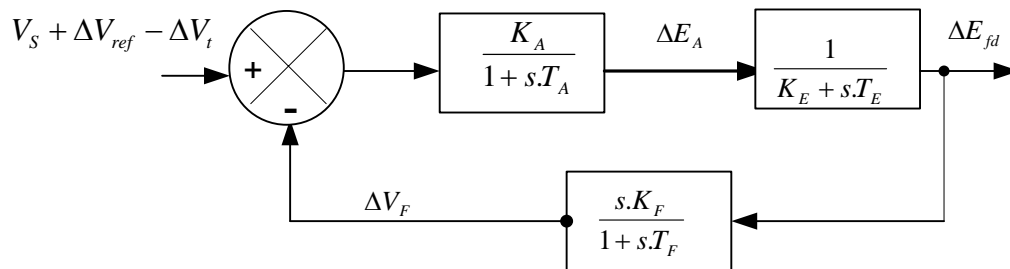


الشكل (1) آلة متوافقة موصولة إلى قضيب تجميع لانهاى عبر خط نقل.



الشكل (2) المخطط الصندوقي لآلة المتوافقة.

ويظهر الشكل (3) المخطط الصندوقي لنظام التهيج من النوع [IEEE TYPE-1] مع منظم الجهد الآلي [2,13].



## الشكل (3) المخطط الصندوقي لنظام التهييج المستخدم.

انطلاقاً من المخطط الصندوقي للآلة وبارمتراتهما تم استخراج مجموعة المعادلات التفاضلية التي تصف هذا النظام وهي [12,13]:

\*معادلات الآلة المتوافقة:

$$* \quad \frac{\Delta \delta}{\Delta \omega} = \frac{2\pi f}{s}, \quad \omega = 2\pi \cdot f$$

$$s \cdot \Delta \delta = 2\pi f \cdot \Delta \omega$$

$$\boxed{\Delta \dot{\delta} = 2\pi f \cdot \Delta \omega} \quad (1)$$

$$* \quad \Delta T_e = K_1 \cdot \Delta \delta + K_2 \cdot \Delta E'_q$$

$$\frac{\Delta \omega}{-D \cdot \Delta \omega + \Delta T_m - \Delta T_e} = \frac{1}{2.H \cdot s}$$

$$2.H \cdot s \cdot \Delta \omega = -D \cdot \Delta \omega - K_1 \cdot \Delta \delta - K_2 \cdot \Delta E'_q + \Delta T_m$$

$$2.H \cdot \Delta \dot{\omega} = -D \cdot \Delta \omega - K_1 \cdot \Delta \delta - K_2 \cdot \Delta E'_q + \Delta T_m$$

$$\boxed{\Delta \dot{\omega} = -\frac{K_1}{2.H} \cdot \Delta \delta - \frac{D}{2.H} \cdot \Delta \omega - \frac{K_2}{2.H} \cdot \Delta E'_q + \frac{1}{2.H} \cdot \Delta T_m} \quad (2)$$

\*معادلات نظام التهييج ومنظم الجهد:

$$* \quad \frac{\Delta E'_q}{-K_4 \cdot \Delta \delta + \Delta E_{fd}} = \frac{K_3}{1 + s \cdot K_3 \cdot T'_{do}}$$

$$\Delta E'_q + s \cdot K_3 \cdot T'_{do} \cdot \Delta E'_q = -K_3 \cdot K_4 \cdot \Delta \delta + K_3 \cdot \Delta E_{fd}$$

$$K_3 \cdot T'_{do} \cdot \Delta \dot{E}'_q = -K_3 \cdot K_4 \cdot \Delta \delta - \Delta E'_q + K_3 \cdot \Delta E_{fd}$$

$$\boxed{\Delta \dot{E}'_q = -\frac{K_4}{T'_{do}} \cdot \Delta \delta - \frac{1}{K_3 \cdot T'_{do}} \cdot \Delta E'_q + \frac{1}{T'_{do}} \cdot \Delta E_{fd}} \quad (3)$$

$$* \quad \frac{\Delta E_A}{-\Delta V_F - \Delta V_t + \Delta V_{ref} + V_S} = \frac{K_A}{1 + s \cdot T_A}$$

$$\Delta V_t = K_5 \cdot \Delta \delta + K_6 \cdot \Delta E'_q$$

$$\Delta E_A + s \cdot T_A \cdot \Delta E_A = -K_A \cdot \Delta V_F - K_A \cdot K_5 \cdot \Delta \delta - K_A \cdot K_6 \cdot \Delta E'_q + K_A \cdot \Delta V_{ref} + K_A \cdot V_S$$

$$T_A \cdot \Delta \dot{E}_A = -K_A \cdot \Delta V_F - \Delta E_A - K_A \cdot K_5 \cdot \Delta \delta - K_A \cdot K_6 \cdot \Delta E'_q + K_A \cdot \Delta V_{ref} + K_A \cdot V_S$$

$$\boxed{\Delta \dot{E}_A = \frac{-K_A \cdot K_5}{T_A} \Delta \delta - \frac{K_A \cdot K_6}{T_A} \Delta E'_q - \frac{1}{T_A} \Delta E_A - \frac{K_A}{T_A} \Delta V_F + \frac{K_A}{T_A} \Delta V_{ref} + \frac{K_A}{T_A} \cdot V_S} \quad (4)$$

عندما لا يستخدم التحكم الإضافي يكون الحد الذي فيه  $V_s$  مساوياً للصفر .

$$* \frac{\Delta E_{fd}}{\Delta E_A} = \frac{1}{K_E + s \cdot T_E}$$

$$K_E \cdot \Delta E_{fd} + s \cdot T_E \cdot \Delta E_{fd} = \Delta E_A$$

$$T_E \cdot \dot{\Delta E}_{fd} = \Delta E_A - K_E \cdot \Delta E_{fd}$$

$$\dot{\Delta E}_{fd} = \frac{1}{T_E} \Delta E_A - \frac{K_E}{T_E} \cdot \Delta E_{fd}$$

(5)

$$* \frac{\Delta V_F}{\Delta E_{fd}} = \frac{s \cdot K_F}{1 + s \cdot T_F}$$

$$\Delta V_F + s \cdot T_F \cdot \Delta V_F = s \cdot K_F \cdot \Delta E_{fd}$$

$$T_F \cdot \dot{\Delta V}_F = K_F \cdot \dot{\Delta E}_{fd} - \Delta V_F$$

$$T_F \cdot \dot{\Delta V}_F = \frac{K_F}{T_E} \Delta E_A - \frac{K_F \cdot K_E}{T_E} \cdot \Delta E_{fd} - \Delta V_F$$

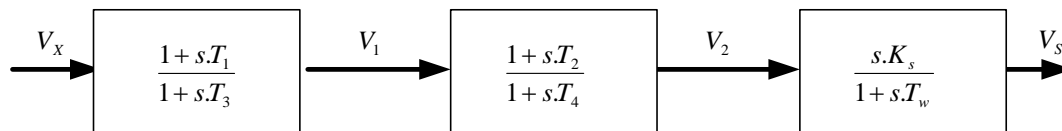
$$\dot{\Delta V}_F = \frac{K_F}{T_F \cdot T_E} \cdot \Delta E_A - \frac{K_F \cdot K_E}{T_F \cdot T_E} \cdot \Delta E_{fd} - \frac{1}{T_F} \Delta V_F$$

(6)

حيث أن  $K_1, K_2, K_3, K_4, K_5, K_6$  هي ثوابت النظام المؤلف من آلة متواقتة موصولة إلى قضيب التجميع عبر خط النقل والتي يتم حسابها انطلاقاً من بارامترات النظام كما هو موضح في [12,13] .

#### \* نموذج مخمد الاهتزاز (PSS) (power system stabilizer):

يعمل مخمد الاهتزاز على زيادة حدود الاستقرار الزاوي لنظام القدرة من خلال تقديم إخماد الاهتزازات لدوار الآلة المتواقتة عبر نظام التهييج للمولد. يُقدم هذا التخامد من خلال العزم الكهربائي المطبق على الدوار والمتوافق بالطور مع تغيرات السرعة، هذا التحكم الإضافي مهم جداً إذا كانت كمية الطاقة المنقولة كبيرة [12]. يتم ضبط مخمد الاهتزاز حول نقطة التشغيل في الحالة المستقرة. يبين الشكل (4) المخطط الصندوقي لمخمد الاهتزاز التقليدي المستخدم.



الشكل (4) مخمد الاهتزاز الكلاسيكي (PSS) (conventional power system stabilizer).

ويتم استنتاج معادلات مخمد الاهتزاز انطلاقاً من المخطط الصندوقي للشكل (4):

$$\begin{aligned} \frac{V_1}{V_X} &= \frac{1 + s \cdot T_1}{1 + s \cdot T_3} \\ V_1 \cdot (1 + s \cdot T_3) &= V_X \cdot (1 + s \cdot T_1) \\ V_1 + T_3 \cdot \dot{V}_1 &= V_X + T_1 \cdot \dot{V}_X \\ \dot{V}_1 &= \frac{1}{T_3} \cdot V_X + \frac{T_1}{T_3} \cdot \dot{V}_X - \frac{1}{T_3} \cdot V_1 \\ \frac{V_2}{V_1} &= \frac{1 + s \cdot T_2}{1 + s \cdot T_4} \\ V_2 \cdot (1 + s \cdot T_4) &= V_1 \cdot (1 + s \cdot T_2) \\ V_2 + T_4 \cdot \dot{V}_2 &= V_1 + T_2 \cdot \dot{V}_1 \\ \dot{V}_2 &= \frac{1}{T_4} \cdot V_1 + \frac{T_2}{T_4} \cdot \dot{V}_1 - \frac{1}{T_4} \cdot V_2 \\ \frac{V_S}{V_2} &= \frac{s \cdot K_S}{1 + s \cdot T_W} \\ V_S \cdot (1 + s \cdot T_W) &= V_2 \cdot s \cdot K_S \\ V_S + T_W \cdot \dot{V}_S &= K_S \cdot \dot{V}_2 \\ \dot{V}_S &= \frac{K_S}{T_W} \cdot \dot{V}_2 - \frac{1}{T_W} \cdot V_S \end{aligned}$$

$$V_S = \frac{s \cdot K_S \cdot T_W (1 + s \cdot T_1)(1 + s \cdot T_3)}{(1 + s \cdot T_W)(1 + s \cdot T_2)(1 + s \cdot T_4)} \cdot V_X \quad (7)$$

يتألف المخدم من صندوق التصريف  $\frac{s \cdot K_S \cdot T_W}{(1 + s \cdot T_W)}$  الذي يعمل على التقليل من الاستجابة الأعظمية للإخماد

عند حدوث أعطال قاسية، وبما أن المخدم يقدم عزم كهربائي متوافق بالطور مع تغييرات السرعة، فإن دارة تقديم الطور تستخدم لتعويض التأخير الحاصل بين خرج المخدم وتطبيق العزم الكهربائي الذي هو الغاية من المخدم والذي يُعبّر عنهم بالصندوقين  $\frac{(1 + s \cdot T_3)}{(1 + s \cdot T_4)}$  و  $\frac{(1 + s \cdot T_1)}{(1 + s \cdot T_2)}$ . إن العدد اللازم من صناديق (تقديم - تأخير) يعتمد بشكل أساسي على النظام وعلى ضبط مخدم الاهتزاز، حيث  $T_W$  الثابت الزمني للتصريف، وربح المخدم  $K_S$  هو عامل مهم جداً لزيادة الإخماد المقدم حتى يصل إلى قيمة محددة حرجة يبدأ بعدها الإخماد بالنقصان.

تعتبر عملية ضبط بارمترات المخدم عملية دقيقة جداً لأنها تعتمد على نوع الآلة المتوافقة وطريقة التمثيل ونوع المهيج المستخدم، كما تعتمد أيضاً على إشارة دخل المخدم، كما أن إشارة الخرج لأي مخدم اهتزاز هي إشارة الجهد المشار إليها هنا بـ  $V_S$ ، وتضاف كإشارة دخل إلى منظم الجهد الآلي لنظام التهيج.

إشارة دخل المخدم المشار إليها هنا بـ  $V_X$ ، والتي هي موضوع دراستنا، قد تم تمثيلها إما بـ  $\Delta\omega$  التي تمثل تغيير السرعة، أي الفرق بين سرعة الآلة والسرعة المرجعي، أو بـ  $\Delta f$  التي تمثل تغيير التردد، أو تغيير الاستطاعة المسرعة (الفرق بين الاستطاعة الميكانيكية والكهربائية)  $\Delta p_e = \Delta p_m - \Delta p_{ac}$  حيث أن الرموز المستخدمة في المعادلات السابقة الواصفة للنظام هي:



رمز يشير إلى تغييرات صغيرة حول قيم التشغيل	$\Delta$
التفاضل الزمني	$\bullet = \frac{d}{dt}$
زاوية القدرة والسرعة الزاوية على التوالي	$\omega, \delta$
جهد حقل التهيج	$E_{fd}$
القوة المحركة الكهربائية العابرة	$E'_q$
جهد خرج المنظم	$E_A$
التردد يساوي 50 Hz	f
الثابت الزمني والربح لدارة للمنظم على التوالي	$K_A, T_A$
الثابت الزمني والربح لدارة التهيج على التوالي	$K_E, T_E$
الثابت الزمني والربح لدارة مخمد المهيح على التوالي	$K_F, T_F$
الثابت الزمني العابر للدارة المفتوحة على المحور المباشر	$T'_{do}$
عامل لابلاس	s
العزم الميكانيكي	$T_m$
العزم الكهربائي	$T_e$
إشارة التحكم التي هي خرج الـ PSS	$V_S$
الجهد المرجعي	$V_{ref}$
الجهد الطرفي	$V_t$
جهد خرج مخمد المهيح	$V_F$
المفاعلة المتواقتة على المحور غير المباشر والمباشر على التوالي	$X_d, X_q$
مركبة المفاعلة العابرة على المحور المباشر	$X'_d$
ثابت التخادم وعزم عطالة للآلة على المحور	H, D

#### 4- النتائج والمناقشة:

تمت الدراسة على نظام مؤلف من آلة متواقتة موصولة إلى قضيب تجميع لانهائي، حيث تم تزويد الآلة بنظام تهيج من النموذج [IEEE TYPE-1]، ونبين فيما يلي ثوابت النظام:

ثوابت الآلة المتواقتة :

$$\begin{aligned} X_d &= 1.6 & T'_{do} &= 7.76 \\ X'_d &= 0.320 & H &= 5 \\ X_q &= 1.550 & D &= 0 \end{aligned}$$

ثوابت نظام التهيج :

$$\begin{aligned} K_A &= 50 & T_A &= 0.05 \\ K_F &= 0.063 & T_F &= 0.35 \\ K_E &= 1 & T_E &= 0, 314 \end{aligned}$$

## خط النقل :

$$\begin{aligned} R &= 0.0 & X &= 0.2 \\ G &= 0.0 & B &= 0.0 \end{aligned}$$

## حالة التشغيل :

$$\begin{aligned} P_G &= 0.8 & Q_G &= 0.6 \\ v_t &= 1.05 & f &= 50[\text{HZ}] \end{aligned}$$

لقد تم حساب ثوابت النظام المؤلف من الآلة المتواقتة وقضيب التجميع  $K_1, K_2, K_3, K_4, K_5, K_6$  بكتابة برنامج بلغة *Matlab* اعتماداً على بارمترات النظام وذلك حسب [12,13] :

$$\begin{aligned} K_1 &= 1.4474 & K_2 &= 1.1873 \\ K_3 &= 0.28889 & K_4 &= 1.5198 \\ K_5 &= -0.0075165 & K_6 &= 0.32833 \end{aligned}$$

## بارمترات محمد اهتزاز نظام الطاقة الكلاسيكي PSSC:

$$\begin{aligned} T_1 = T_3 &= 0.5 & T_2 = T_4 &= 0.05 \\ T_w &= 10 & K_w &= 50 \end{aligned}$$

حيث أن :

$$\begin{aligned} R, X & \text{ مفاعلة خط النقل ومقاومته على التوالي.} \\ G, B & \text{ سماحية خط النقل وناقليته على التوالي.} \\ P_G, Q_G & \text{ الاستطاعة الردية والفعلية للتوليد.} \end{aligned}$$

انطلاقاً من الدراسة فقد تم معالجة المسائل التالية :

✓ نمذجة المخطط الصندوقي للنظام المؤلف من آلة متواقتة موصولة إلى قضيب تجميع لانهائي عبر خط نقل والمبين في الشكل (2) باستخدام برنامج *MATLAB* ، تم حل جملة المعادلات التفاضلية التي تصف النظام باستخدام طريقة *ADAMS*.

✓ حساب ثوابت النظام  $K_1, K_2, K_3, K_4, K_5, K_6$  مع حساب القيم الأولية للنظام باستخدام

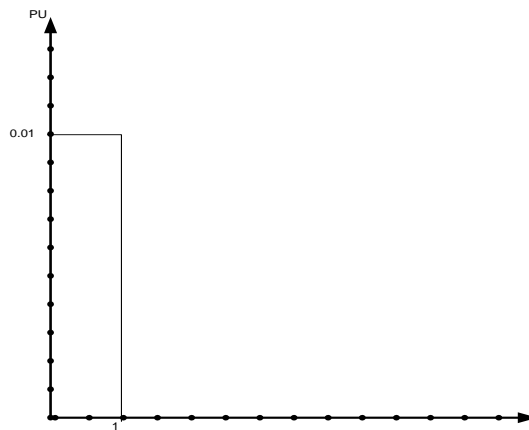
*MATLAB*.

✓ اختيار بارمترات محمد الاهتزاز باستخدام طريقة *(trial and error)* [11] حيث تم إختيار الأداء

الأفضل للنظام.

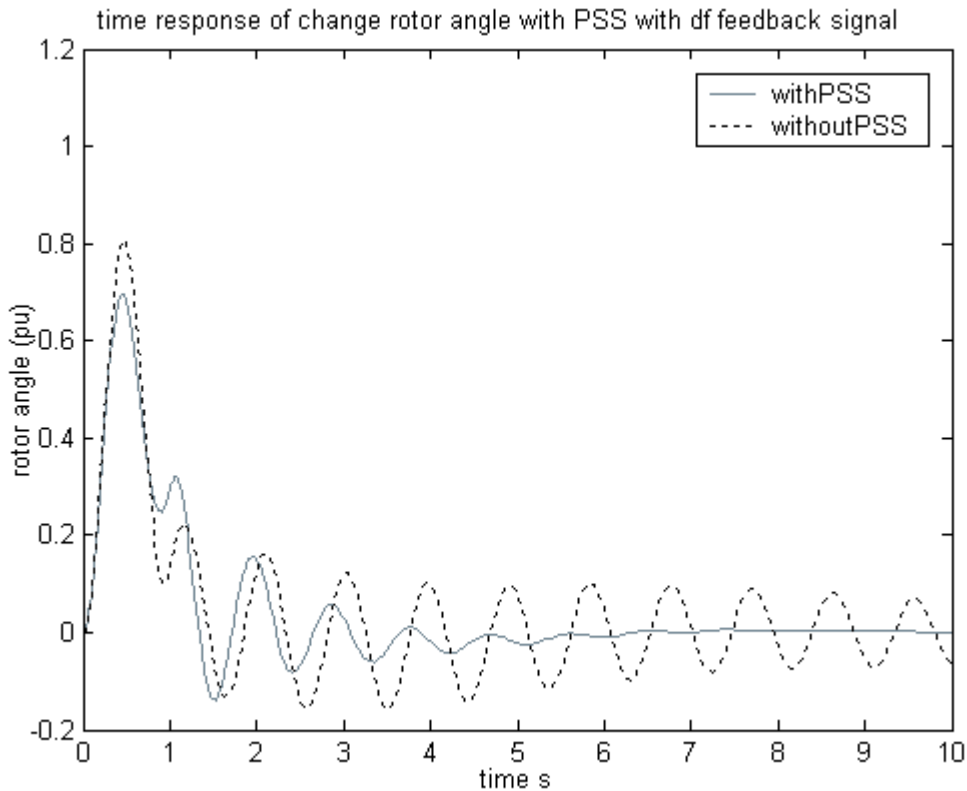
✓ إحداث إضطراب أدى إلى تغير في العزم الميكانيكي بمقدار  $0,01$  لمدة 1 ثانية كما هو مبين في الشكل

رقم (5) وتمت محاكاة النظام ورسم الاستجابة الزمنية لكل من  $\Delta\delta, \Delta\omega, \Delta V_t$  بدلالة الزمن والتي تمثل تغير الجهد الطرفي، تغير السرعة وتغير زاوية القدرة على التوالي.

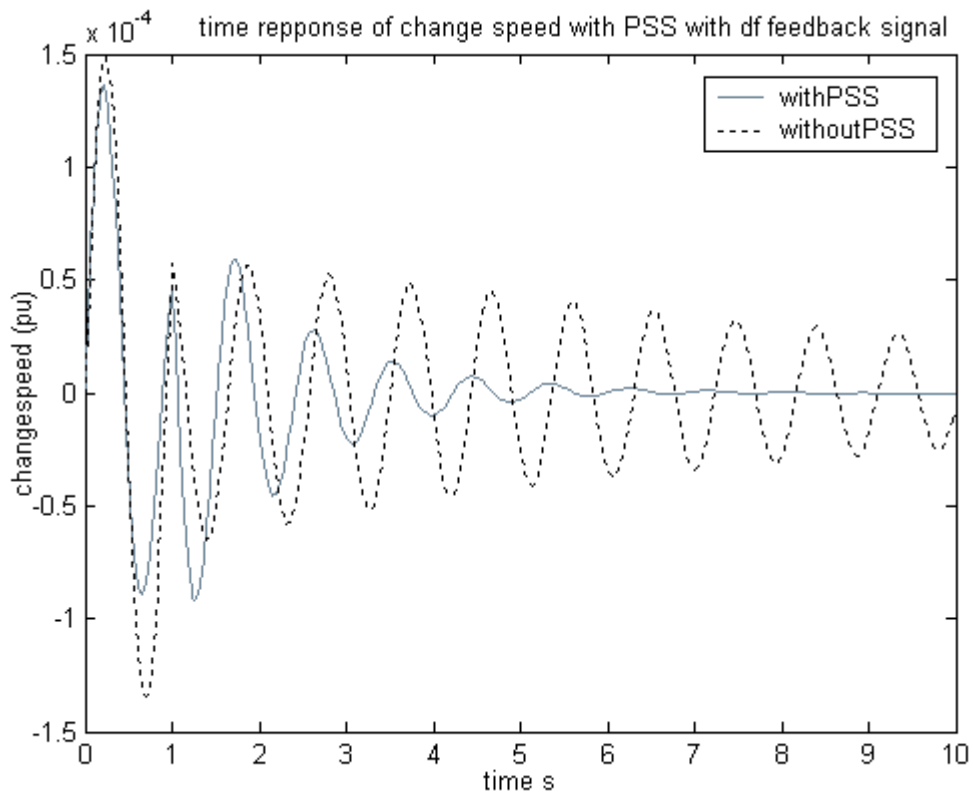


الشكل رقم(5) تغير العزم الميكانيكي على دخل المولد

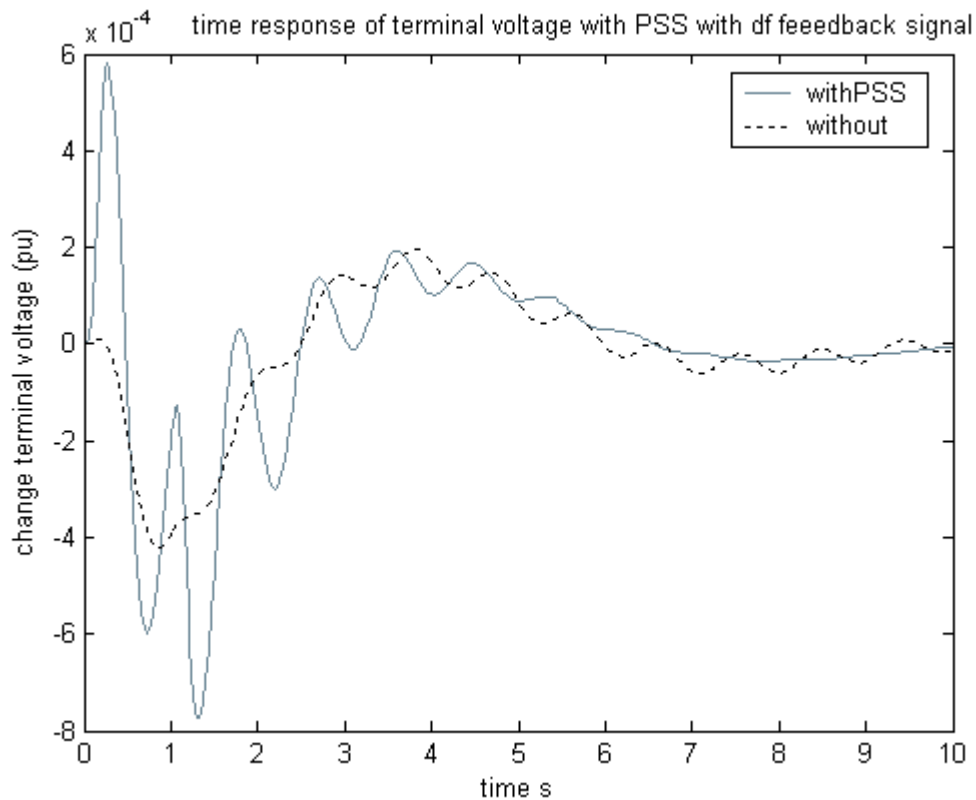
✓ اختبار أداء مخمد الاهتزاز عند تطبيق إشارة دخل للمخمد، وهي عبارة عن إشارة تغذية عكسية من تغير التردد  $\Delta f$  ورسمت الاستجابة الزمنية لكل من  $\Delta V_t$ ،  $\Delta \omega$ ،  $\Delta \delta$  مع مقارنتها مع اداء النظام بدون وجود مخمد الاهتزاز، وبينت النتائج أنه يوجد تأثير إخماد جيد للأهتزازات مقارنة مع عدم وجود PSS كما هو مبين في الأشكال (6)(7)(8) والتي تمثل  $\Delta V_t$ ،  $\Delta \omega$ ،  $\Delta \delta$  على التوالي.



الشكل رقم(6) الاستجابة الزمنية لتغير زاوية القدرة مع وجود ال PSS المغذى عكسيا بتغير التردد

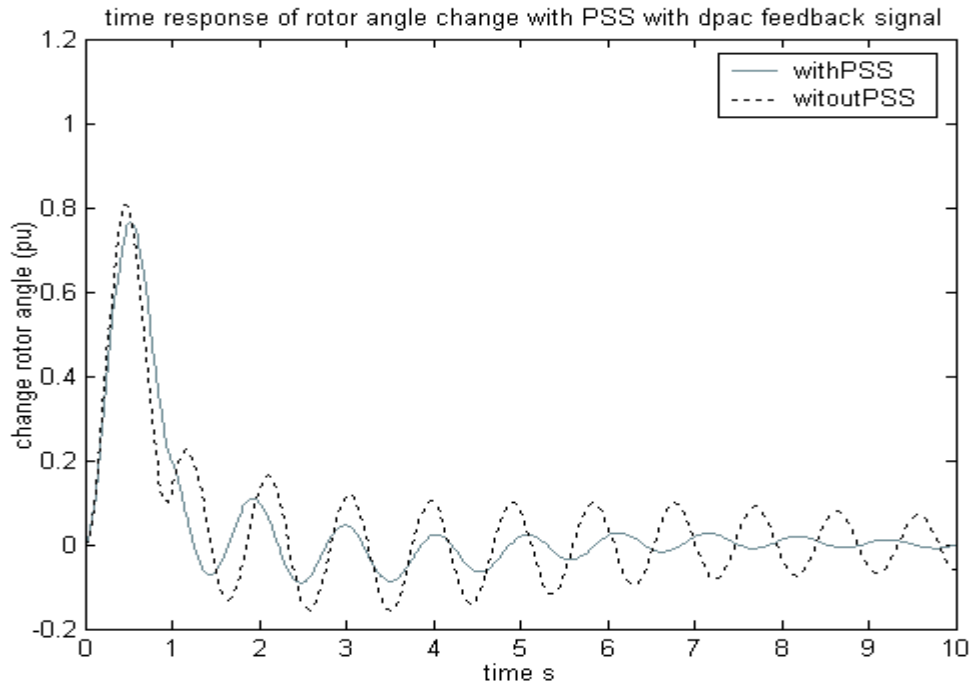


الشكل رقم (7) الاستجابة الزمنية لتغير السرعة مع وجود ال PSS المغذى عكسيا بتغير التردد.

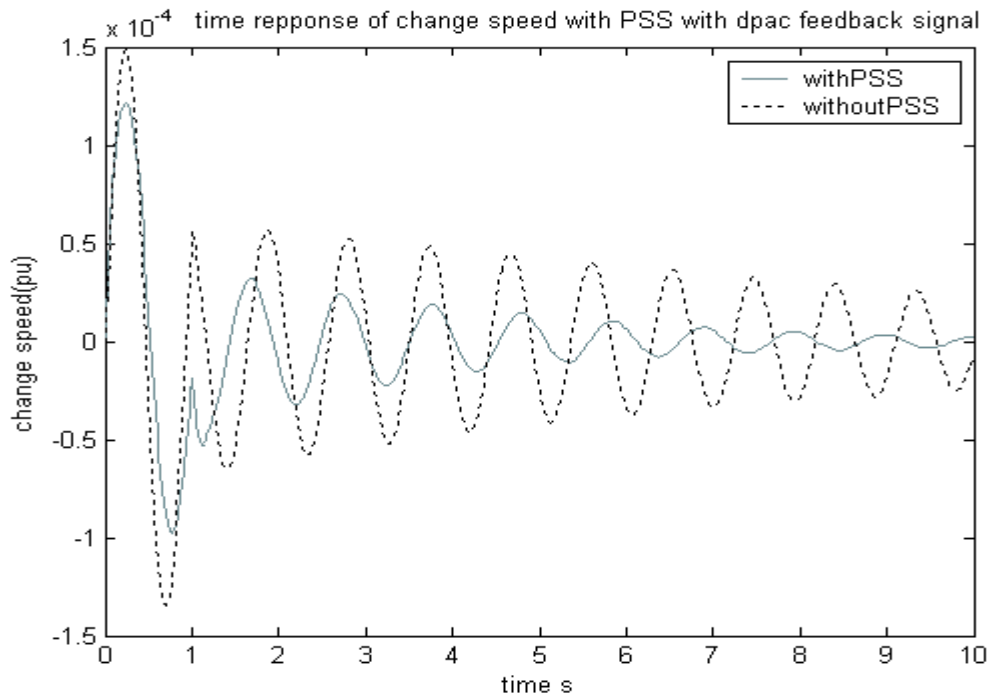


الشكل رقم(8) الاستجابة الزمنية لتغير الجهد الطرفي مع وجود ال PSS المغذى عكسيا بتغير التردد.

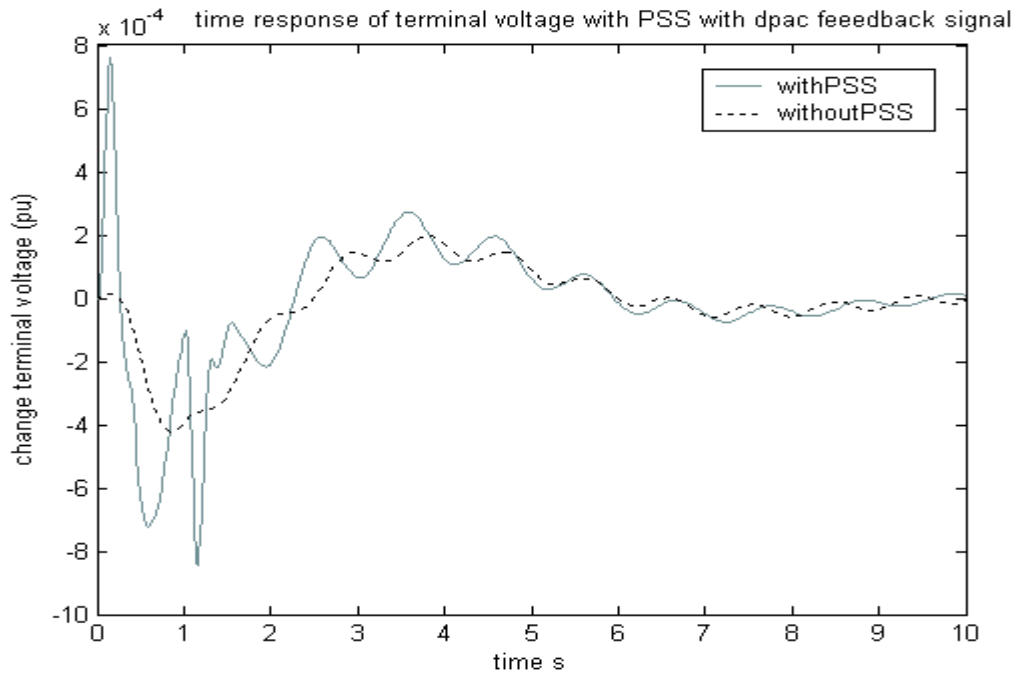
✓ اختبار أداء مخمد الاهتزاز عند تطبيق إشارة دخل للمخمد، والتي تمثل إشارة تغذية عكسية من تغيير الاستطاعة المسرعة  $\Delta P_{ac}$ ، وقد رسمت الاستجابة الزمنية لكل من  $\Delta V_r$ ،  $\Delta \omega$ ،  $\Delta \delta$  المبينة في الأشكال (9)(10)(11) على التوالي. تبين هذه الأشكال المقارنة بين أداء النظام بوجود مخمد اهتزاز وبدونه، تبين الأشكال التأثير الواضح لأداء مخمد الاهتزاز في خفض مطال الاهتزازات الناتجة.



الشكل رقم (9) الاستجابة الزمنية لزواوية القدرة مع وجود الـ PSS المغذى عكسيا بالاستطاعة المسرعة

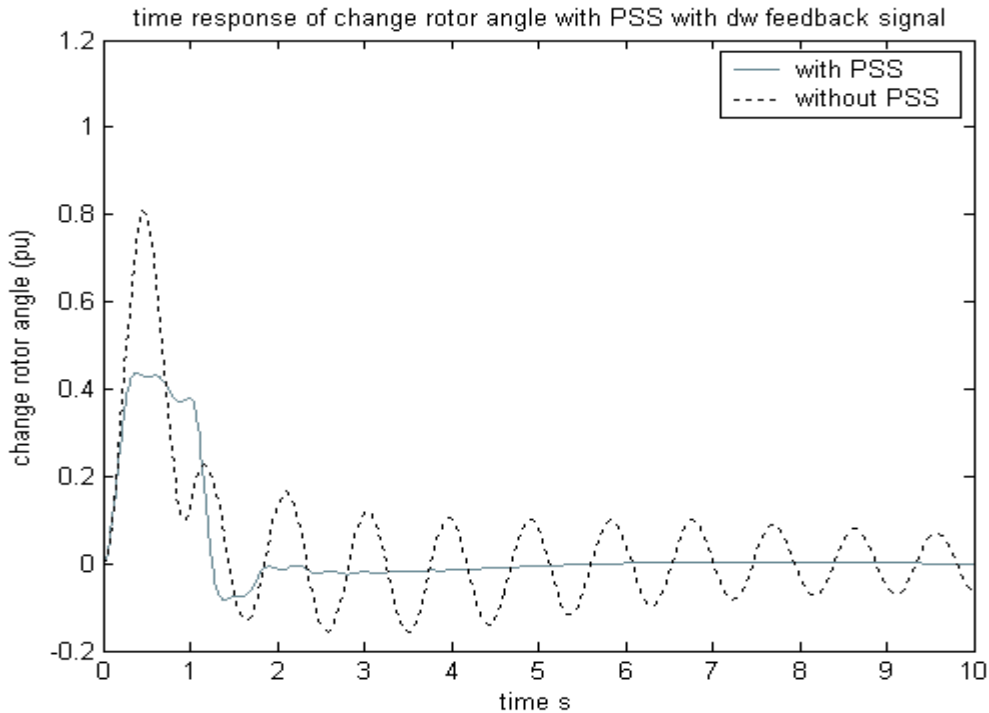


الشكل رقم(10) الاستجابة الزمنية لتغير السرعة مع وجود الـ PSS المغذى عكسيا بالاستطاعة المسرعة.

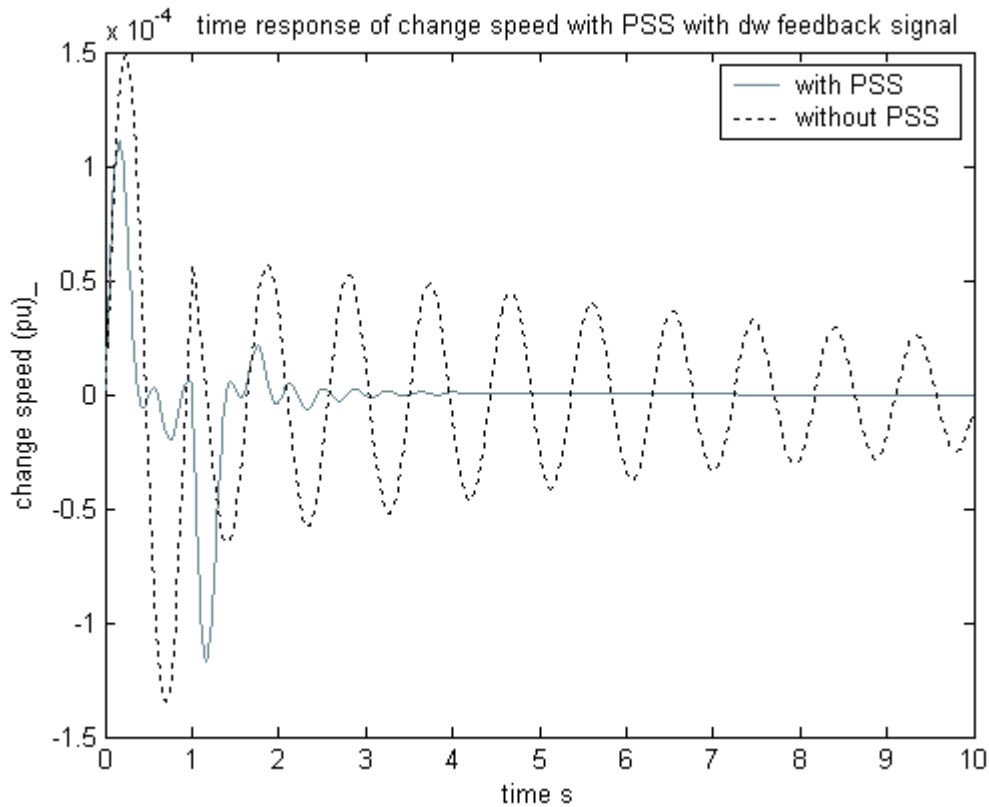


الشكل رقم (11) الاستجابة الزمنية لتغير الجهد الطرفي مع وجود الـ PSS المغذى عكسياً بالاستطاعة المسرعة.

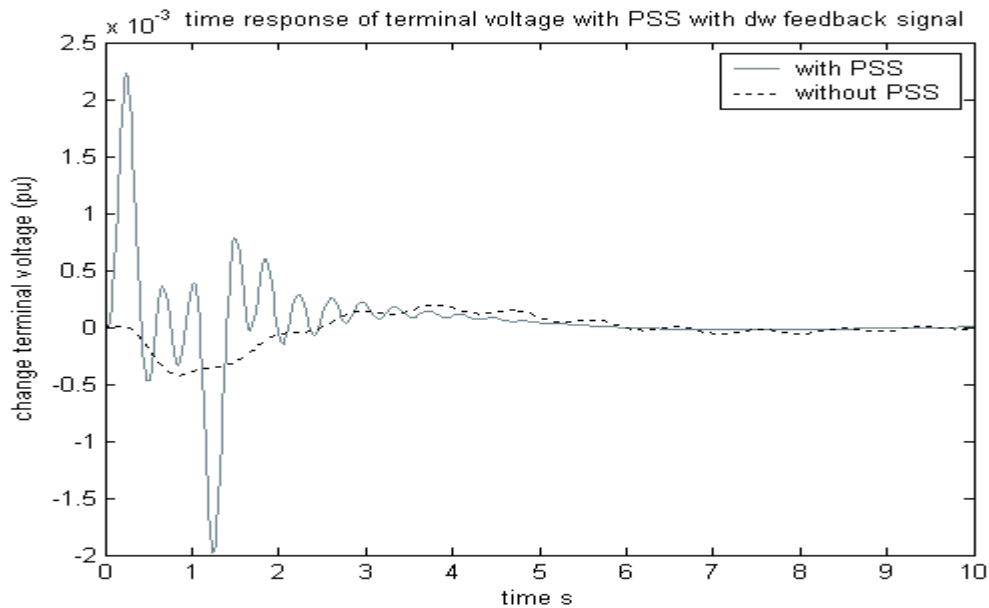
✓ اختبار أداء محمد الاهتزاز عند تطبيق إشارة دخل للمحمد، وهي تمثل إشارة تغذية عكسية لدخل المخدم من تغير السرعة  $\Delta\omega$ ، وتبين الأشكال (12)(13)(14) على التوالي منحنيات الاستجابة الزمنية لكل من  $\Delta V_t$ ،  $\Delta\omega$ ،  $\Delta\delta$  وهي تمثل المقارنة بين أداء النظام بوجود مخدم اهتزاز مغذى عكسياً من تغير السرعة وبدونه. يتضح من هذه الأشكال أن مخدم الاهتزاز قد أعطى تأثيراً واضحاً في إخماد الاهتزازات.



الشكل رقم (12) الاستجابة الزمنية لزاوية القدرة مع وجود الـ PSS المغذى عكسياً بتغير السرعة



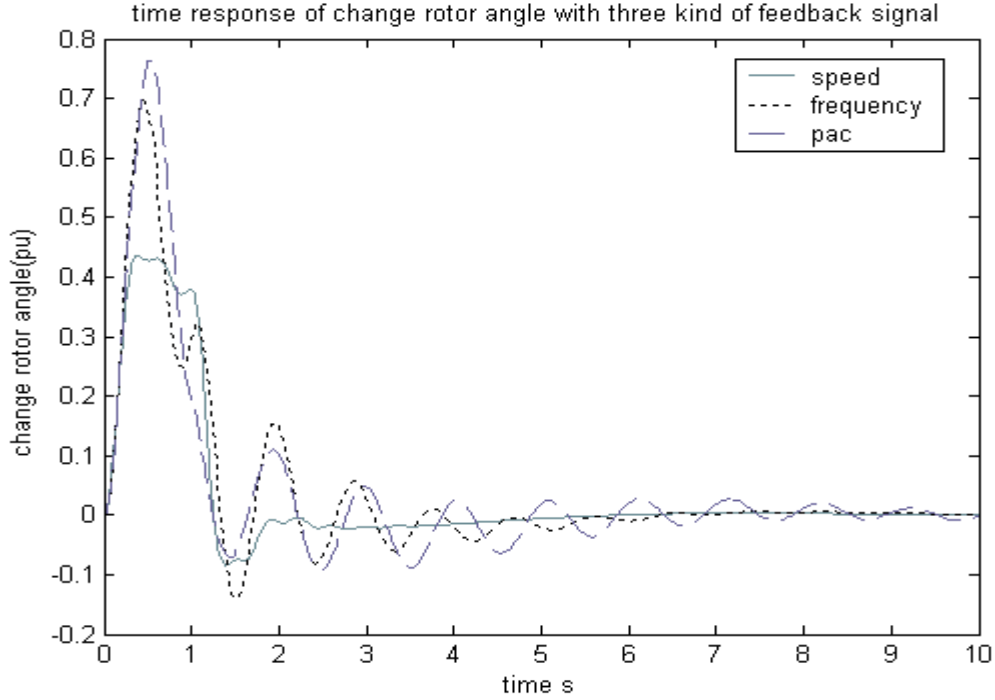
الشكل رقم (13) الاستجابة الزمنية لتغير السرعة مع وجود ال PSS المغذى عكسيا بتغير السرعة



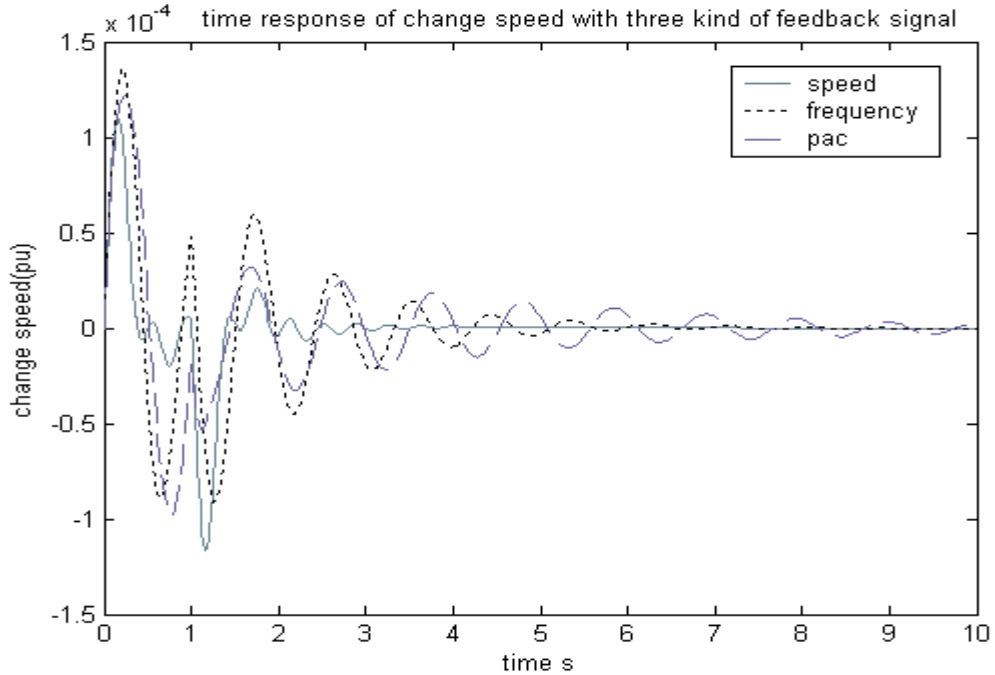
الشكل رقم (14) الاستجابة الزمنية لتغير الجهد الطرفي مع وجود ال PSS المغذى عكسيا بتغير السرعة

✓ إجراء مقارنة استجابة النظام بوجود مخمد الاهتزاز عند تطبيق إشارات الدخل الثلاث كلاً على حده  
 $\Delta f$  ،  $\Delta P_{ac}$  ،  $\Delta \omega$  كإشارات تغذية عكسية وتم رسم الاستجابات الزمنية لكل من  $\Delta V_i$  ،  $\Delta \omega$  ،  $\Delta \delta$  للأنواع الثلاث  
 من الاشارات كما هو مبين في الأشكال (15)(16)(17) على التوالي. وفقاً لذلك فقد قمنا بتنظيم الجدول (1) الذي يبين

مقارنة لمنحنيات  $\Delta V_f$ ،  $\Delta \omega$ ،  $\Delta \delta$  من حيث زمن الاستقرار و قيمة التجاوز الأعظمي. حيث يتضح من الجدول (1) أن استخدام محمد اهتزاز بإشارة تغذية عكسية من تغير السرعة يعطي أداء أفضل من استخدام الاشارات الأخرى كدخول لمحمد الاهتزاز، حيث تم إخماد الاهتزازات بعد 3.5 ثانية تقريباً، يعود ذلك كون محمد الاهتزاز يعطي عزم تخامد متوافق بالطور مع السرعة، لذلك يكون هو الأفضل في هذه الحالة.

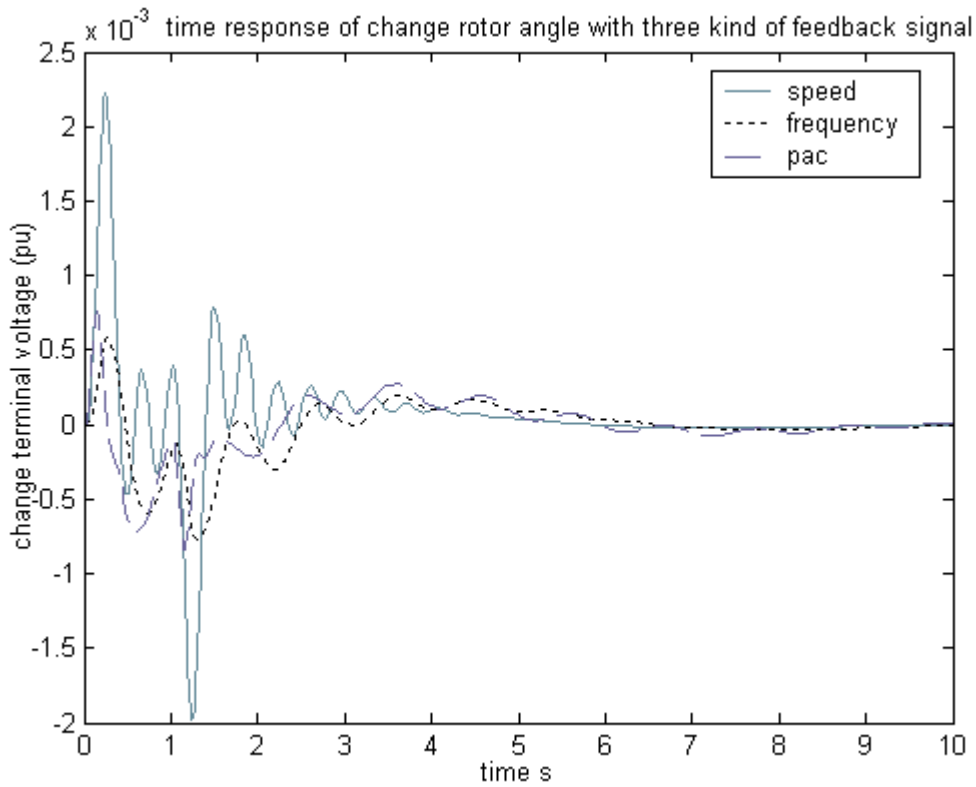


الشكل رقم (15) الاستجابة الزمنية لتغير زاوية القدرة مع محمد الاهتزاز المغذى عكسيا ثلاثة أنواع من إشارات الدخل كل على حدا



الشكل رقم (16) الاستجابة الزمنية لتغير السرعة مع محمد الاهتزاز المغذى عكسيا ثلاثة أنواع من إشارات الدخل كل على حدا





الشكل رقم (17) الاستجابة الزمنية لتغير الجهد الطرفي مع مخمد الإهتزاز المغذى عكسيا ثلاثة أنواع من إشارات الدخل كل على حدا

الجدول رقم (1) مقارنة الاستجابة لكل من  $\Delta V_t$ ،  $\Delta \omega$ ،  $\Delta \delta$  التي تبين أداء مخمد عند تطبيق الأنواع الثلاث من الإشارات

نوع إشارة دخل مخمد الاهتزاز	نوع منحنى الاستجابة الزمنية	قيمة التجاوز الأعظمي <i>overshoot</i>	زمن الاستقرار <i>Time settling</i>
تغير التردد $\Delta f$	منحنى الاستجابة الزمنية لتغير زاوية القدرة	0.7	7 ثانية
	منحنى الاستجابة الزمنية لتغير السرعة	1.36	7 ثانية
	منحنى الاستجابة الزمنية لتغير الجهد الطرفي	0.00058	10 ثانية
تغير الاستطاعة المسرعة $\Delta Pac$	منحنى الاستجابة الزمنية لتغير زاوية القدرة	0.76	10 ثانية
	منحنى الاستجابة الزمنية لتغير السرعة	1.215	10 ثانية
	منحنى الاستجابة الزمنية لتغير الجهد الطرفي	7.63	10 ثانية
تغير السرعة $\Delta \omega$	منحنى الاستجابة الزمنية لتغير زاوية القدرة	0.435	6 ثانية
	منحنى الاستجابة الزمنية لتغير السرعة	1.1	4.5 ثانية
	منحنى الاستجابة الزمنية لتغير الجهد الطرفي	2.23	5.5 ثانية

**5- الاستنتاجات:**

من خلال بحثنا هذا توصلنا إلى الاستنتاجات التالية :

- \* يمكن تحسين أداء نظام الطاقة الكهربائي باستخدام محمد اهتزاز تقليدي يقدم عزم إخماد إضافي متوافق بالطور مع السرعة عن طريق تقديم إشارة جهد على دخل نظام التهييج.
- \* تبين أن أداء محمد الاهتزاز التقليدي يعطي تخامد أفضل عند استخدام إشارة السرعة كدخل لمحمد الاهتزاز.

**المراجع:**

- (1) ASHFAQ, H. *Electrical Power System*. CBS Publishers & Distributions, New Delhi, 1999, 538.
- (2) ABDELHAMID, M. *Enhancement of Electrical Power Systems Stability Through Power System Stabilizer Based On Combined Lead Operation Amplifier and Optimal Control*. Damascus UNIV Journal, Vol. 19. N°. 1, 2004, 97-117.
- (3) KUNDUR, P; ROGERS, G . J; ZYWNO, M. S. *Application Of Power System Stabilizers For Enhancement Of Overall System Stability*. Ibid, Vol. 4. N°. 2, May 1989, 614-621.
- (4) LARSEN, E. V; SWAN, D. A. *Applying Power System Stabilizers*. IEEE trans, Vol. 100. N°. 6, June 1981, 3017-3046.
- (5) WANG, L. *A comparative Study Of Damping Schemes On Damping Generator Oscillations*. IEEE Trans, Vol. 8. N°. 2, May 1993, 613-619.
- (6) ELMETWALLY, M. M; ROA, N. D; MALIK, O. P. *Experimental Results On The Implementation Of An Optimal Control For Synchronous Machines*. IEEE Trans, Vol. 94. N°. 4, august 1975, 1192-1200.
- (7) Lee, D. C; BEAULIEU, R. E. *A Power System Stabilizer Using Speed And Electrical Power Inputs Design And Field Experience*. IEEE Trans, Vol. 100. N°. 9, September 1981, 4151-4157.
- (8) HOAVA, J; AGEE, J. O. *Comparison Of Power System Stabilizer For Damping Local Mode Oscillations*. IEEE Trans, Vol. 8, N°. 3, September 1993, 533-329.
- (9) DEMELLO, F. P; CONCORDIA, C. *Concepts Of Synchronous Machine Stability As Affected By Excitation Control*. IEEE Trans, Vol. 88. N°. 1, April 1969, 316-329.
- (10) HEFFRON, W. G; PHILLIPS, R. A. *Effects Of Modern Amplidyne Voltage Regulator In Underexcited Operation Of Large Turbine Generators*. IEEE Trans, Vol. 71. N°. 2, Aug 1952, 692-697.
- (11) Chaaban F, Housam Eldin A. *Mathematic Method To Improve The Parameters Of Electric Power Transmission Lines*. Tishreen University Journal for Research and Scientific Studies - Engineering Sciences Series; 24;2002.
- FLEMING, R. J; PARVATISAM, K. *Selection Of Parameters Of Stabilizers In Multi-Machine Power Systems*. IEEE Trans, Vol. 99. N°. 2, May/June 80, 892-901.
- (12) PETER, W. S. *Power System Dynamics and Stability*. Prentice Hall, New Jersey, 1998, 353.
- (13) ANDERSON, P. M; FOUAD, A. A. *Power System Control & Stability*. IOWA State University Press, U.S.A, 1986, 796.